

Utilisation des Diodes Laser pour des mesures d'absorption:

- Détermination de la température de gaz à partir de profil Doppler*
- Saturation optique*
- Quelques artéfacts*

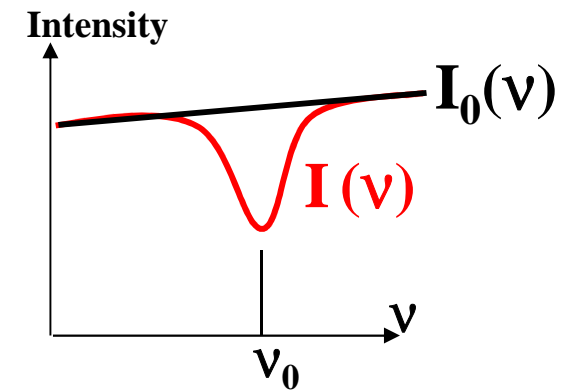
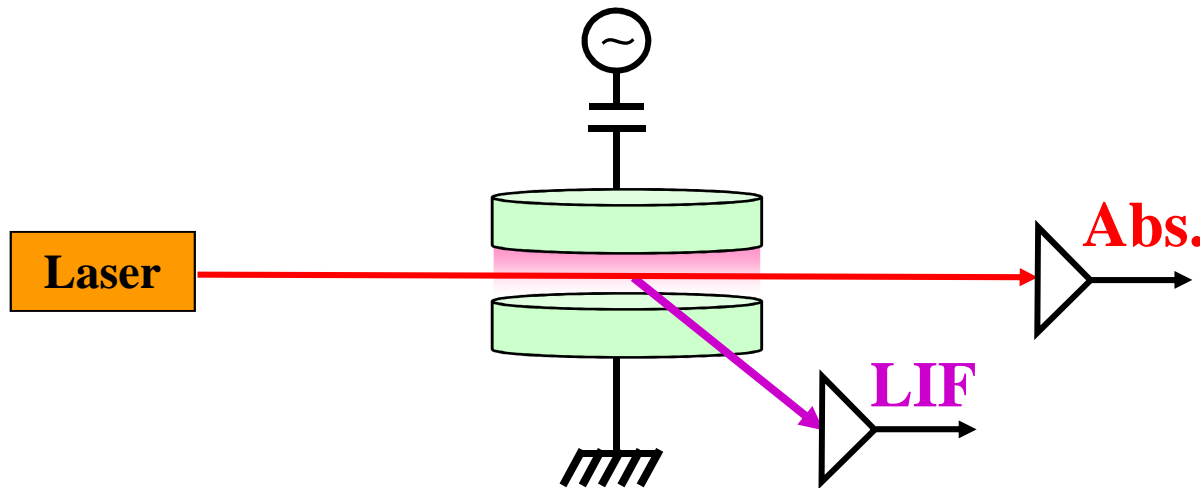
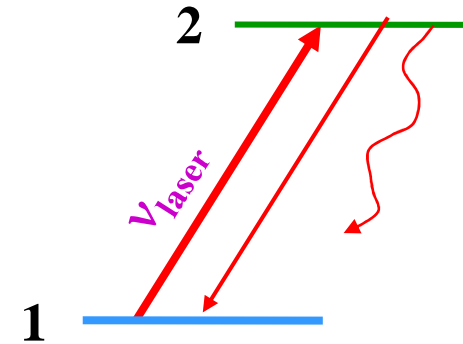
Nader SADEGHI

*LIPhy, Université Grenoble -Alpes and CNRS, B.P. 87, 38 402 St Martin d 'Hères
(France), E-mail: Nader.Sadeghi@univ-grenoble-alpes.fr*

et LTM, CNRS-CEA, Grenoble

Spectroscopie d'Absorption Laser

La fréquence du laser est accordée sur une transition spécifique de l'atome



$$\ln\left(\frac{I_0(\nu)}{I(\nu)}\right) = l \cdot \alpha(\nu)$$

$$\alpha(\nu) = \frac{4hB_{12}}{\lambda\gamma} \left(n_1(\nu) - \frac{g_1}{g_2} n_2(\nu) \right)$$

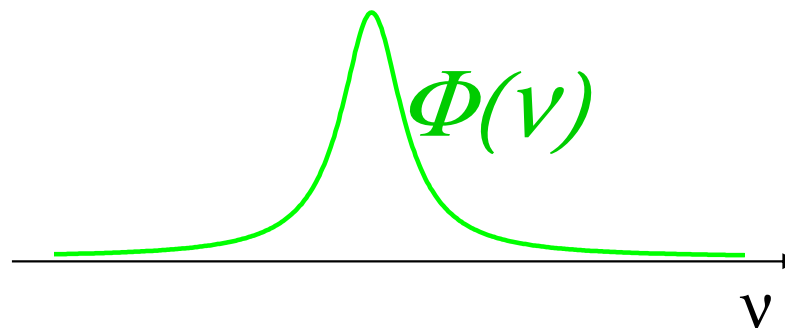
What can we learn by measuring $\alpha(\nu)$?

$$\alpha(\nu) = N k \Phi(\nu)$$

Density
traces Detection

transition
probability

Line profile
Analysis



Unités utilisées en spectroscopie

$$1 \text{ eV} = 1.6 \times 10^{-19} \text{ J} = 8065 \text{ cm}^{-1} \quad \text{Nombre d'onde}$$

$$300 \text{ kT} = 207 \text{ cm}^{-1}$$

$$1 \text{ cm}^{-1} = 30 \text{ GHz}$$

$$\nu = \frac{c}{\lambda}$$

$$\Delta \nu = \frac{c * \Delta \lambda}{\lambda^2}$$

Énergie de photon:

$$\lambda = 500 \text{ nm} \quad 1/\lambda = 20000 \text{ cm}^{-1}$$

Largeur de raie:

$$\text{A } 563 \text{ nm,} \quad \Delta \lambda = 1 \text{ nm} \rightarrow \Delta \nu = 1000 \text{ GHz}$$

Profils des raies spectrales

Largeur Homogène: Pour une transition, identique pour tout les atomes:

Sa forme est une Lorentzienne

$$L_L(\nu - \nu_0) = \frac{1}{2\pi} \frac{\delta\nu_L}{(\nu - \nu_0)^2 + (\delta\nu_L/2)^2}$$

Largeur naturelle: $\delta\nu_n(FWHM) = \frac{1}{2\pi\tau}$

Largeur Inhomogène: due aux effets collectifs, par exemple l'agitation thermique des atomes (**Elargissement Doppler**):

Sa forme est une Gaussienne

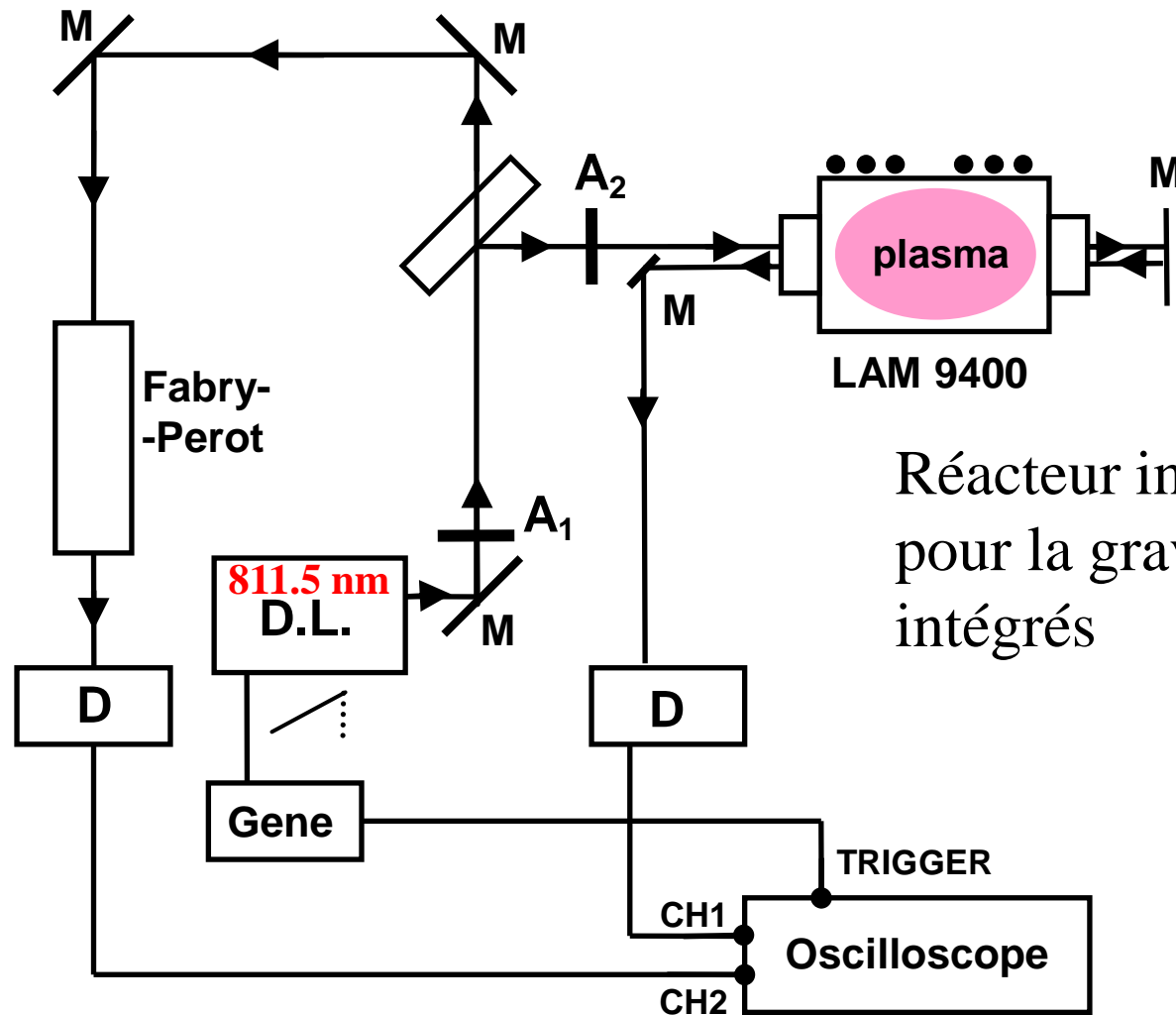
$$L_D(\nu - \nu_0) = \frac{2\sqrt{\ln(2)/\pi}}{\delta\nu_D} \exp\left[-4\ln(2)\frac{(\nu - \nu_0)^2}{(\delta\nu_D)^2}\right]$$

Largeur Doppler : $\delta\nu_D(\text{GHz}) = (2\nu_0/c)\sqrt{2\ln 2(RT/M)} = 7.16 \cdot 10^{-16} \nu_0 \sqrt{T/M}$

Pour la raie 589.1 nm de sodium ($\tau=16$ ns) à 500 K $\delta\nu_n=0.01$ GHz

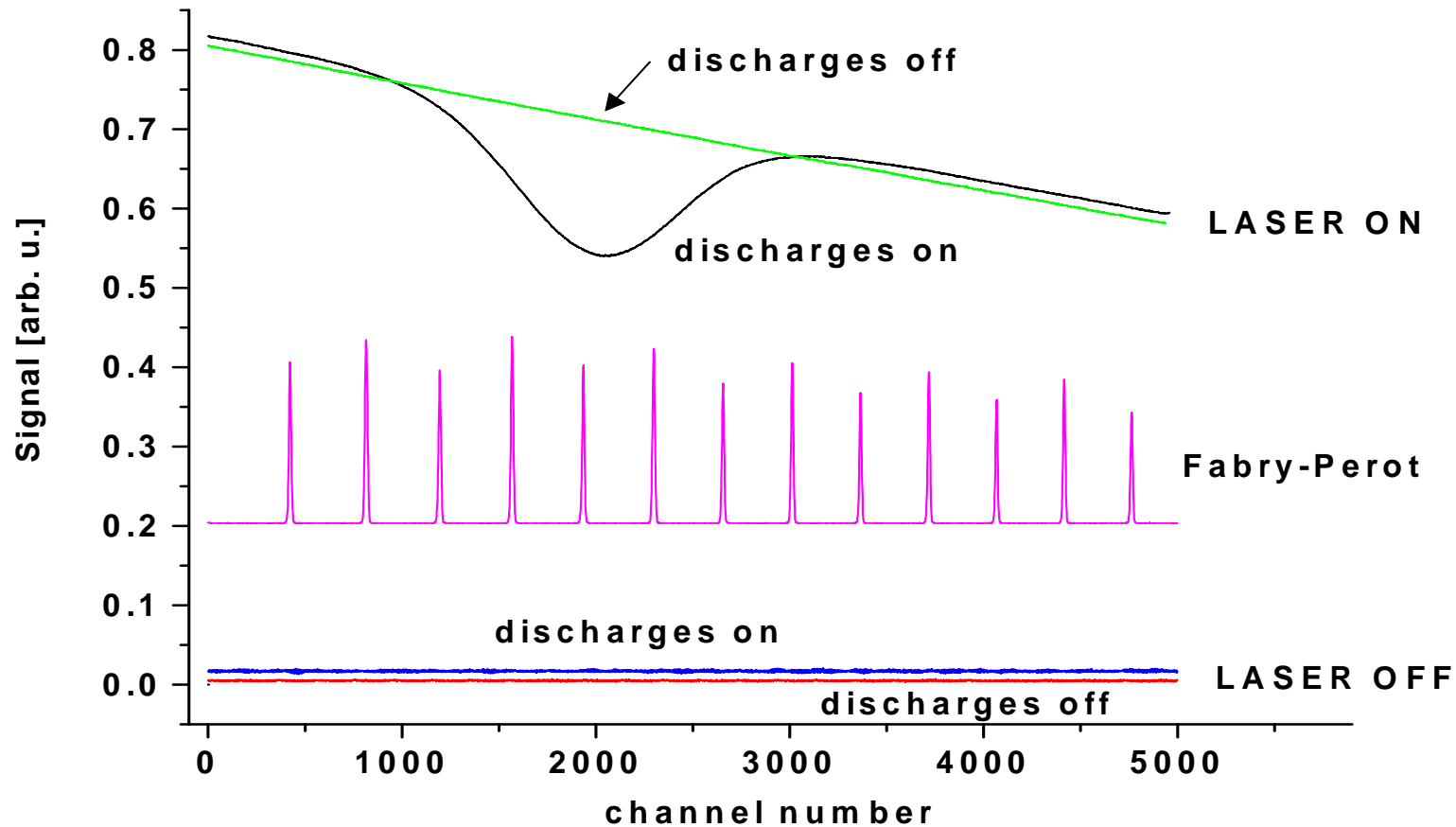
$$\delta\nu_D=1.7 \text{ GHz}$$

Montage expérimental



Réacteur industriel utilisé
pour la gravure de circuits
intégrés

Signaux enregistrés

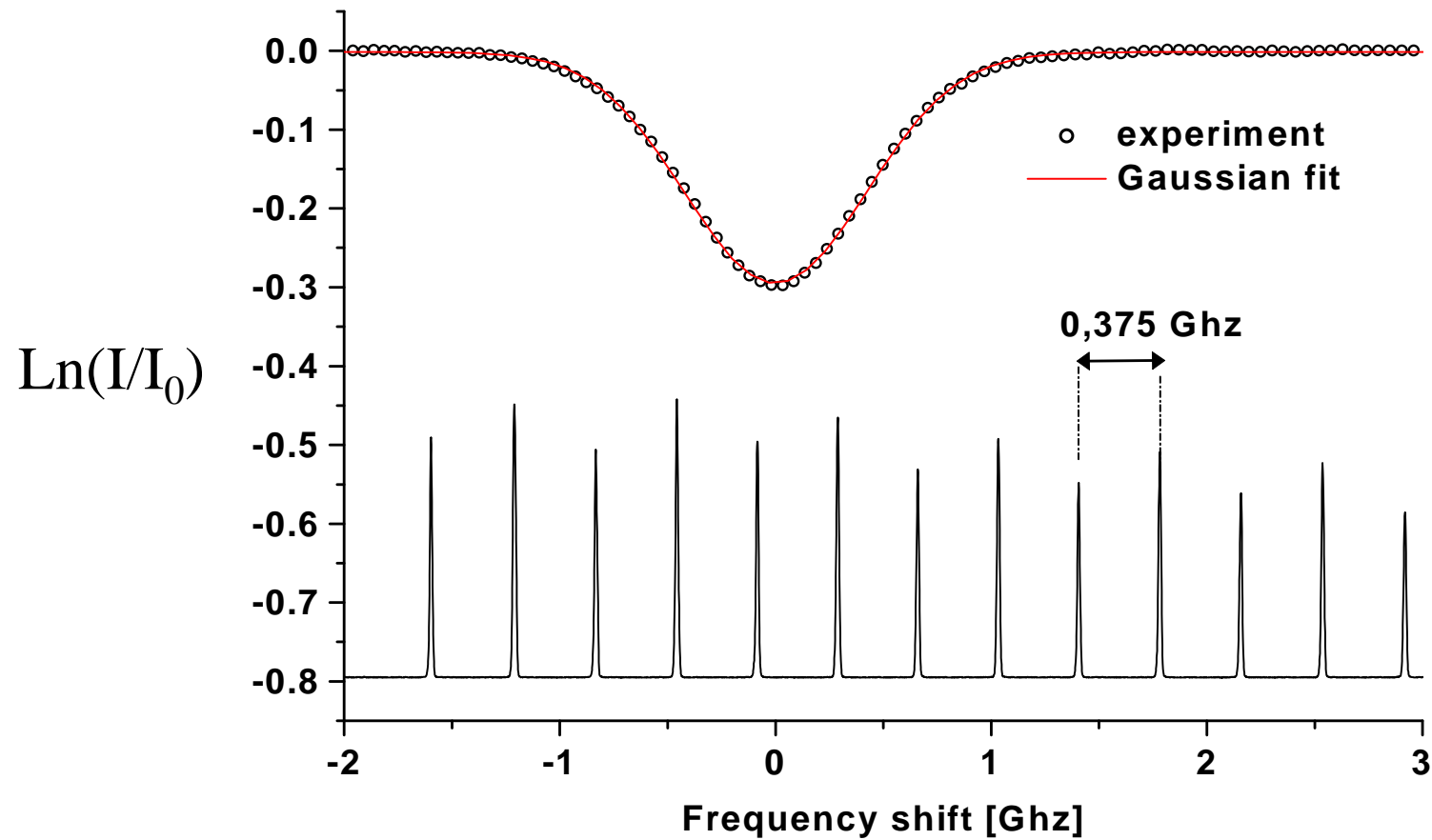


$$\text{Density} \approx \text{Ln}(I_0/I)$$

$$I_0 = \text{Laser}_{\text{on-plasma off}} - \text{BG}$$

$$I = \text{Laser}_{\text{on-plasma on}} - \text{Plasma}$$

Détermination de la largeur Doppler



Détermination de la densité et la température des métastables $\text{Ar}^*(^3\text{P}_2)$

S, la surface de la raie d'absorption est donnée par l'équation :

$$S = \int_0^\infty \ln\left(\frac{I(0, \nu)}{I(l, \nu)}\right) d\nu = h\nu_0 B_{ik} l \langle N_i \rangle$$

D'où on peut déduire la densité moyenne des espèces absorbantes :

$$\langle N_i \rangle = \frac{1}{h\nu_0 B_{ik} l} S = \frac{4\varepsilon_0 m_e}{e^2 f_{ik} l} S = \frac{1}{l f_{ik}} 3,8 \times 10^{14} S$$

S, la surface en GHz, $\langle N_i \rangle$ en m^{-3} et f_{ik} la force oscillateur de la raie:

Pour la raie 811.5 nm absorbée par les atomes $\text{Ar}^*(^3\text{P}_2)$, $f_{ik} = 0,46$

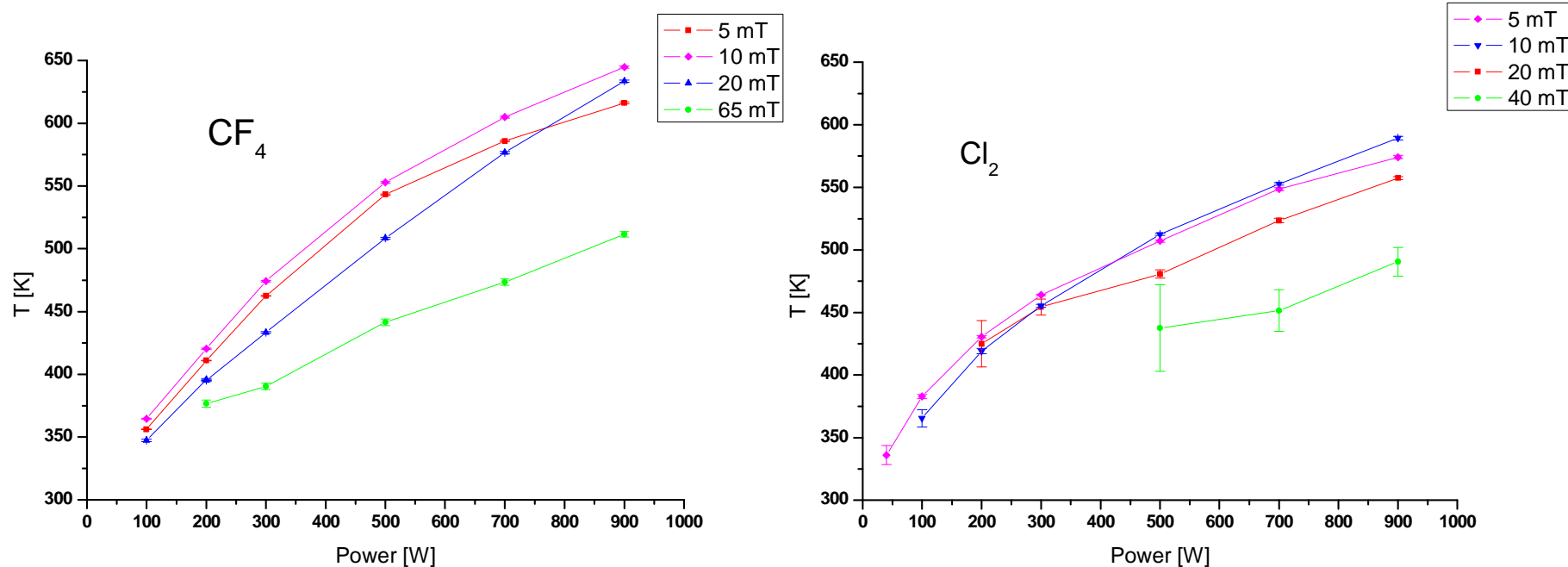
Donc $\langle N_i \rangle = 8.08 \times 10^{14} \cdot S / l$

La largeur Doppler est: $\delta\nu_D (\text{GHz}) = 7.16 \times 10^{-16} \nu_0 \sqrt{T / M}$

Pour la raie 811.5 nm de l'argon , **$T = 572 \cdot (\delta\nu_D)^2$**

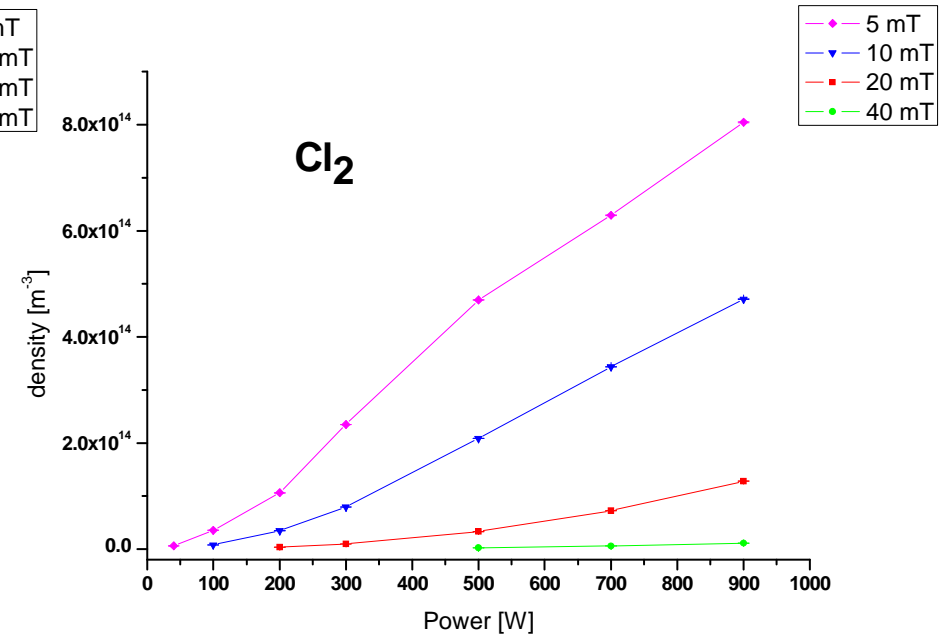
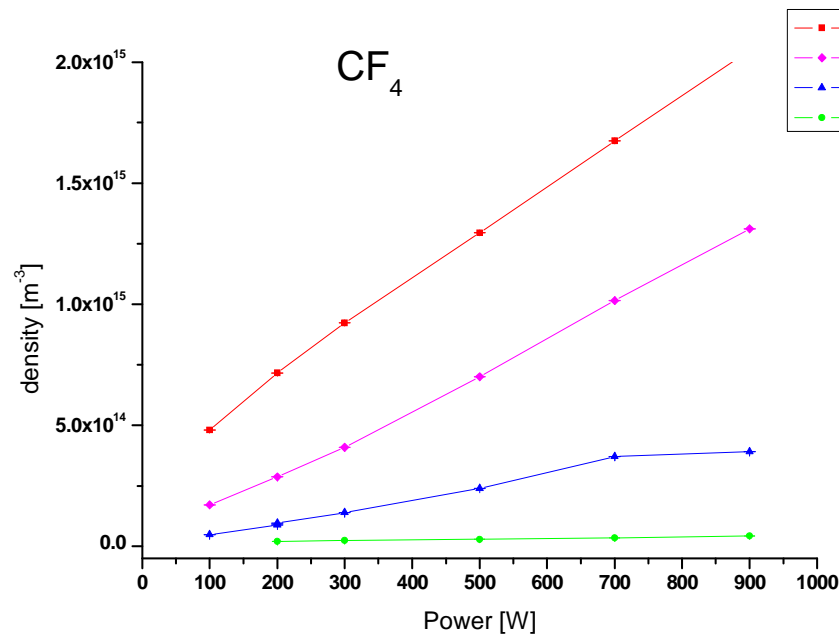
Température du gaz en fonction de la puissance RF

5% d'argon est ajouté au gaz pour obtenir T à partir de $\delta\nu_D$



T augmente avec P_{RF} , mais dépend peu de la nature du gaz

Densité de $\text{Ar}^*(^3\text{P}_2)$ en fonction de P_{RF}

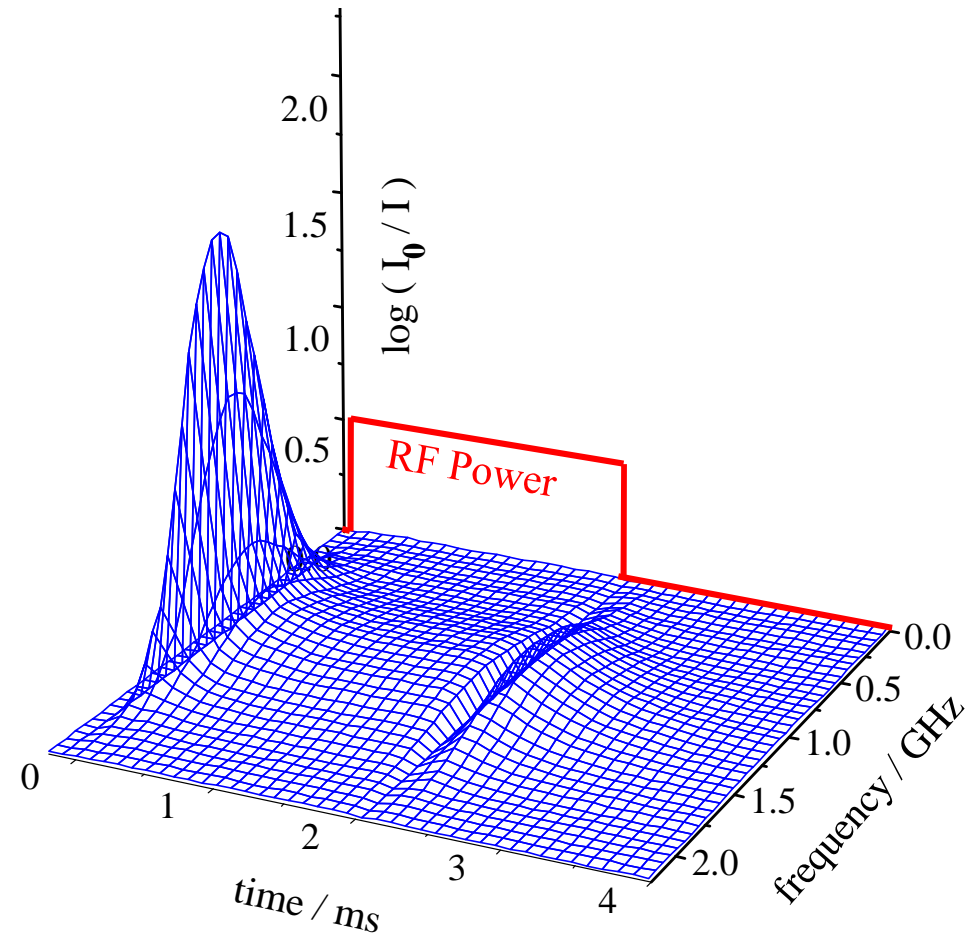
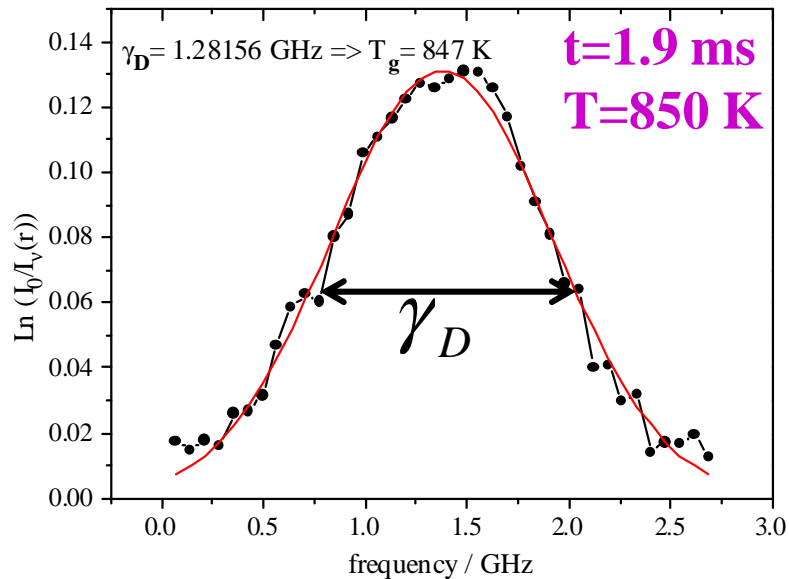
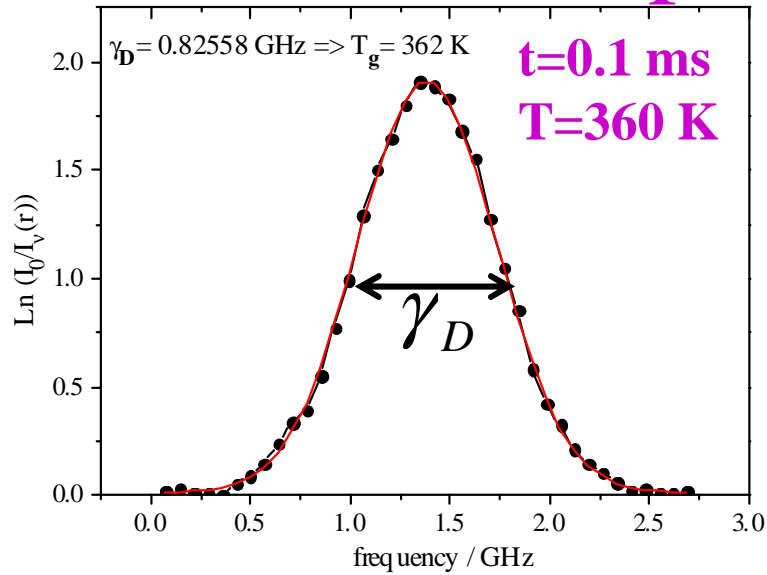


A 100 W, la densité de $\text{Ar}^*(^3\text{P}_2)$ est 15 fois plus faible dans Cl_2 que dans CF_4 car $k_q(\text{Cl}_2) = 71 \times 10^{-17} \text{ m}^3 \cdot \text{s}^{-1}$ et $k_q(\text{CF}_4) = 4 \times 10^{-17} \text{ m}^3 \cdot \text{s}^{-1}$

Voir J.E. Velazco *et al*, J. Chem. Phys. **68** (1978) 4357

A forte P_{RF} , Cl_2 est dissocié et $k_q(\text{Cl}) < k_q(\text{Cl}_2)$ donc $[\text{Ar}^*]$ augmente

Densité et Température des atomes Ar* dans un plasma pulsé Helicon



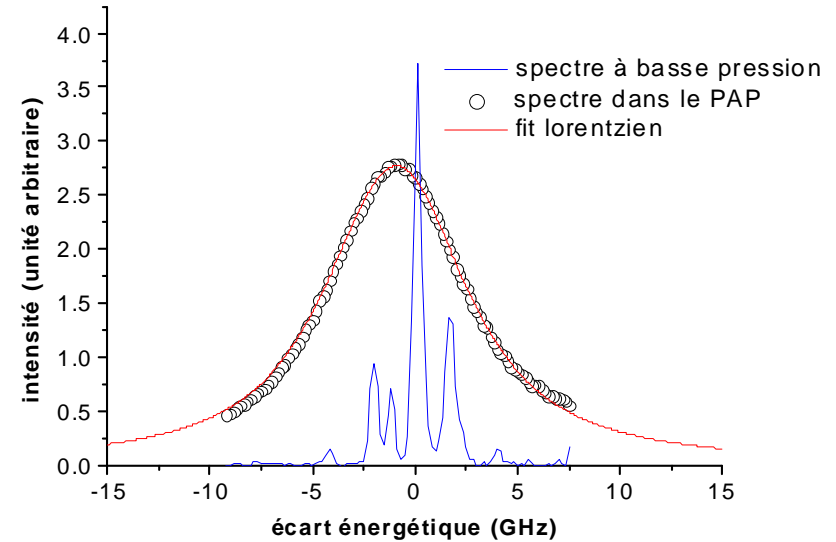
$$\gamma_D(t) = \frac{2\sqrt{\text{Ln}2}}{\lambda_0} \sqrt{\frac{RT(t)}{M}}$$

Artifacts

Xenon Line Profiles Broadened by pressure (Ne 800 mBar)

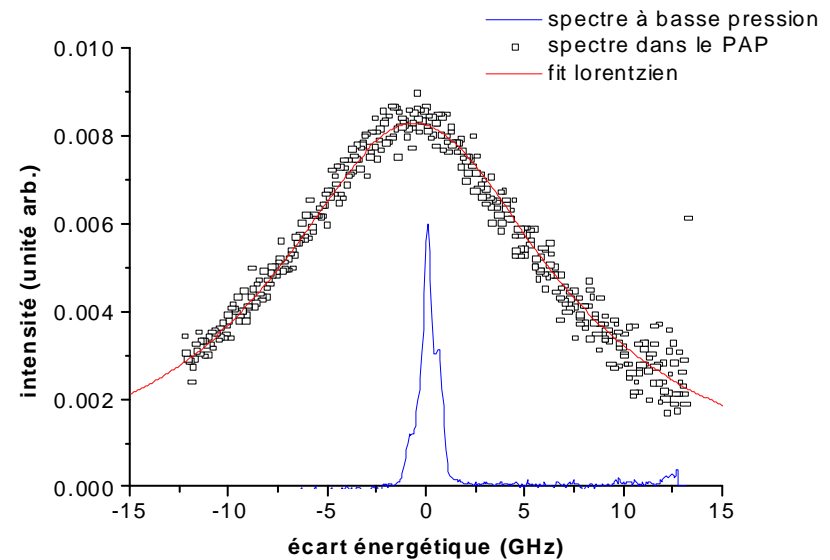
A 823nm :

⇒ Lorentzian profile with
 $\Delta\nu=7,2$ GHz,
shifted by $-1,1$ GHz



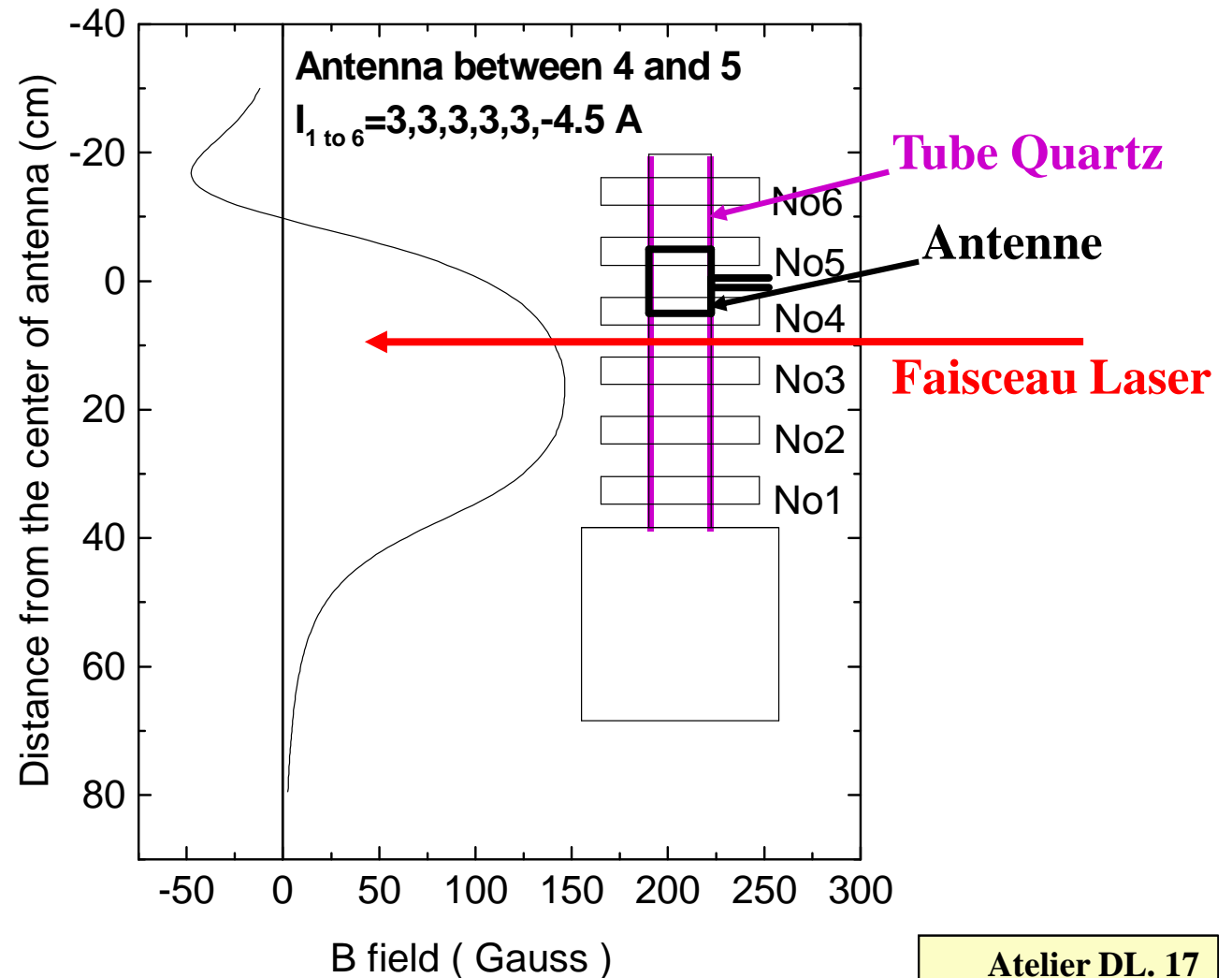
A 828 nm :

⇒ Lorentzian profile with
 $\Delta\nu=16,8$ GHz,
shifted by $-0,72$ GHz



Profil de raie en présence de champ magnétique

Plasma d'argon basse pression; $p = 0.9$ à $10 \mu\text{bar}$, réacteur Helicon

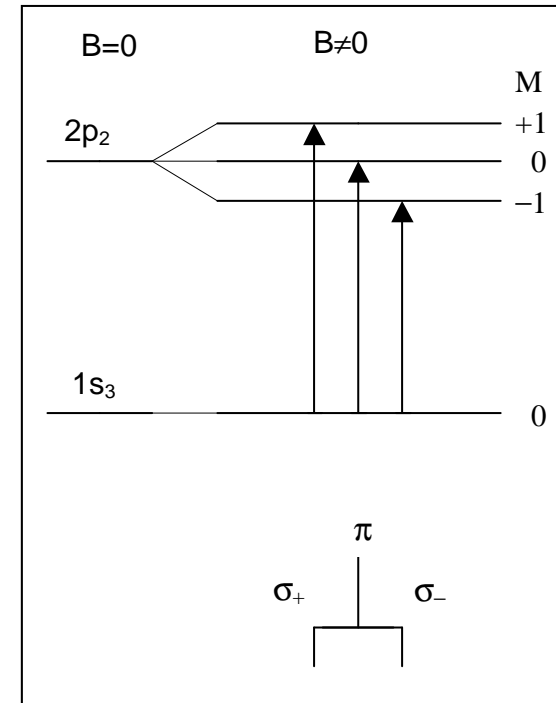
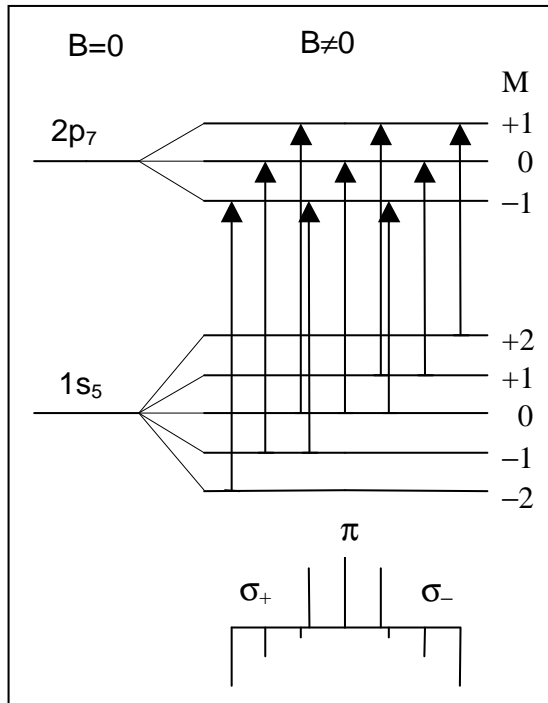


Profil de raie en présence de champ magnétique

composantes Zeeman des raies d'absorption de l'Argon

Raie 772.38 nm; $2p_7 \leftarrow {}^3P_2$

Raie 772.42 nm; $2p_2 \leftarrow {}^3P_0$



$$\vec{k} \perp \vec{B}$$

si $\vec{E} \perp \vec{B}$ seulement les raies σ^+ et σ^- existent

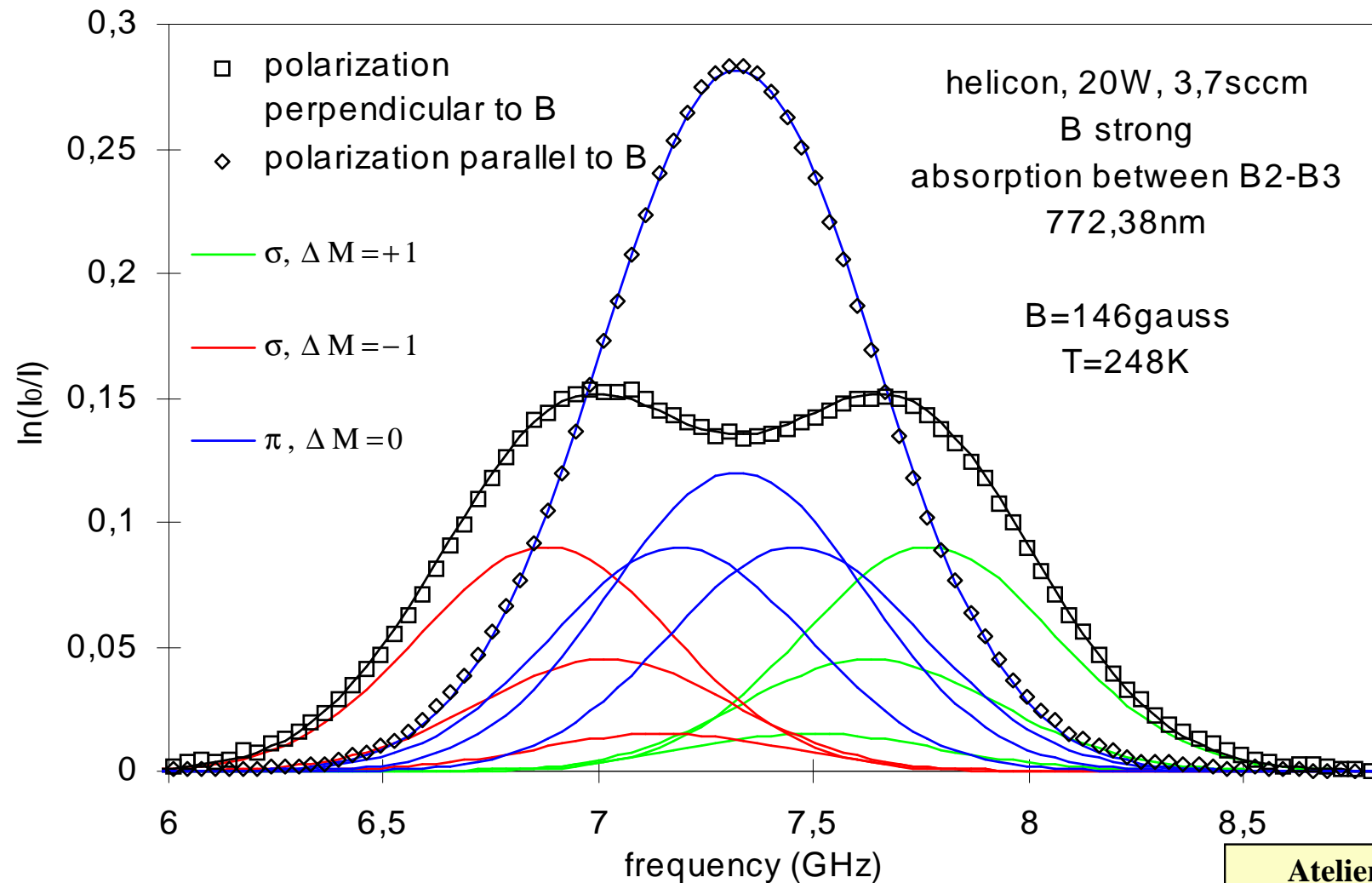
$$\vec{k} \perp \vec{B}$$

si $\vec{E} // \vec{B}$ seulement les raies π existent

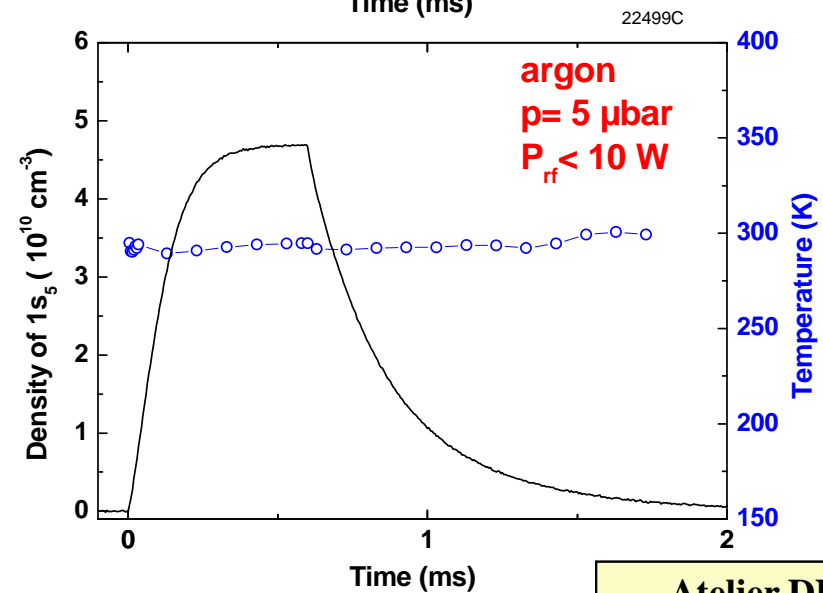
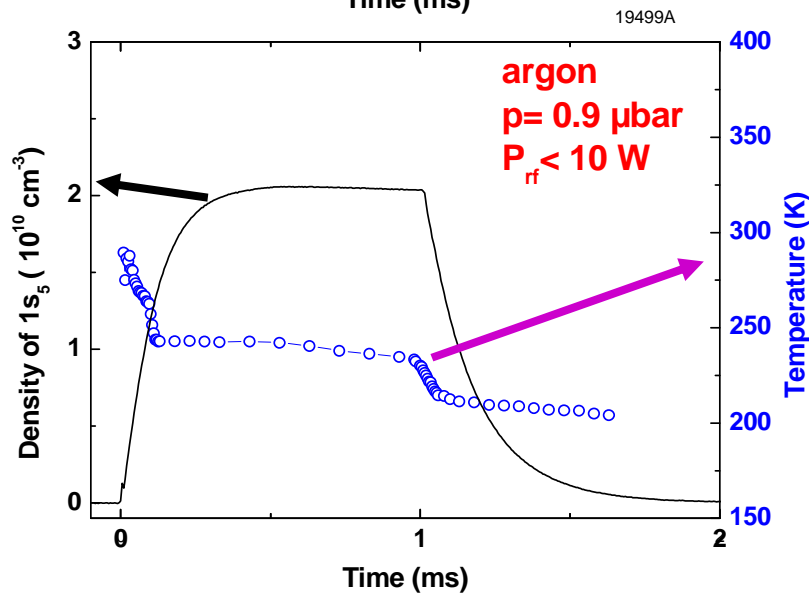
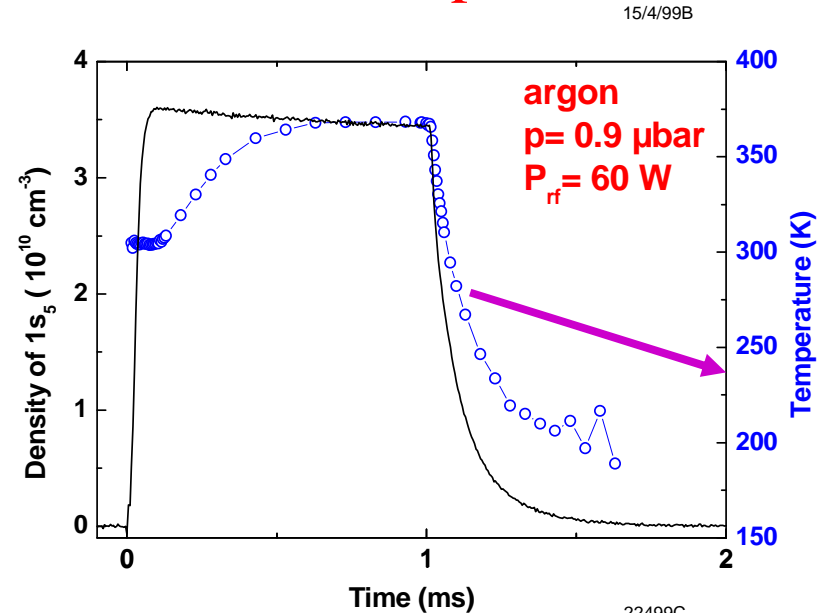
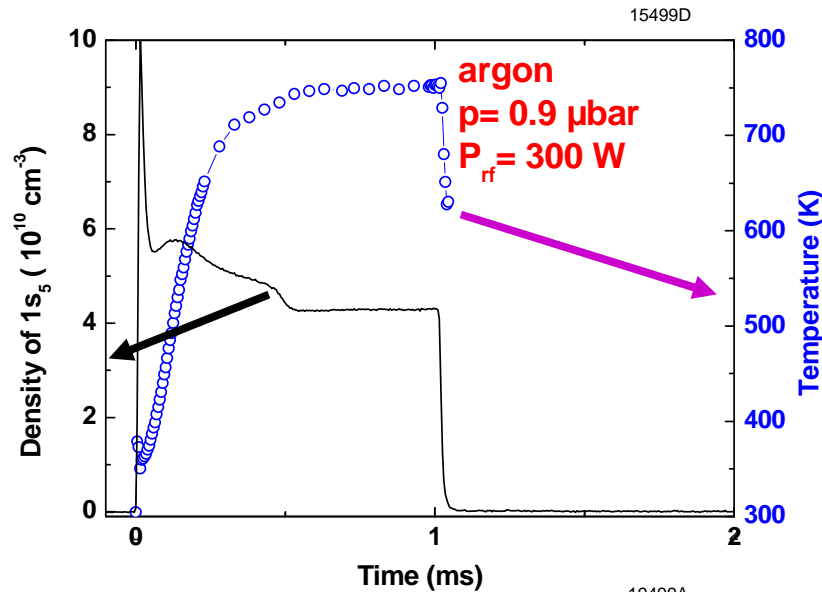
$$\vec{k} // \vec{B}$$

Alors seulement les raies σ^+ and σ^- existent

Profils expérimentaux de la raie 772.38 nm avec deux polarisations différentes: somme de Gaussians

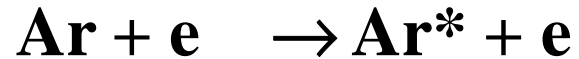


Dans une décharge pulsée et à très faible pression d'argon, on mesure $T < T_{\text{parois}}$!!!



What is wrong?

Metastable atoms are created by electron impact excitation of argon atoms



At $p < 100 \mu\text{bar}$, they are destroyed by:



The mean free path (*mfp*) of Ar^* in Ar is $\cong 5 \text{ (cm)}/p(\mu\text{bar})$

The plasma tube radius (ρ) is 4.5 cm

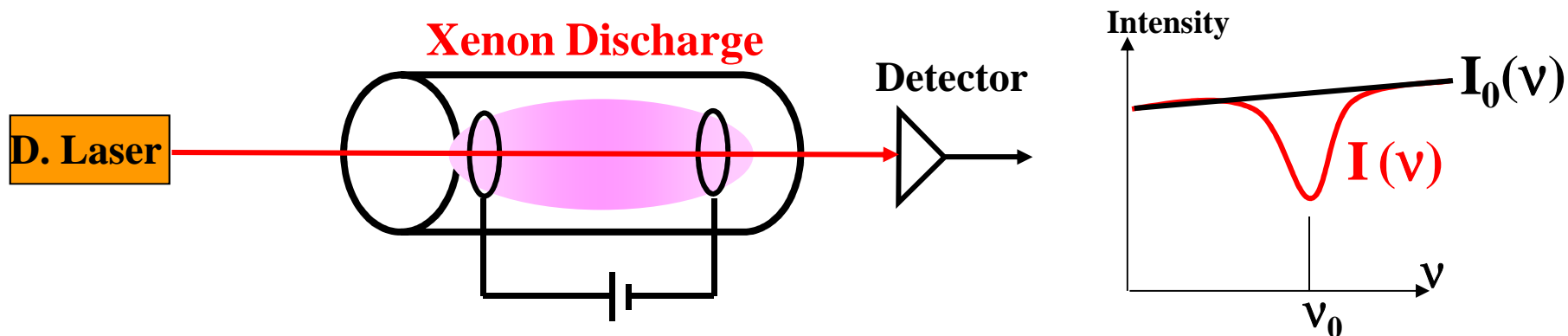
At high electron density, $n_e \geq 10^{17} \text{ m}^{-3}$, (e) is the dominant mechanism: Ar^* are destroyed before one *mfp*. The velocity distribution function (*pdf*) of Ar^* is the same than the *pdf* of Ar atoms. **We measure the gas temperature.**

At low n_e , and $p=0.9 \mu\text{bar}$, (w) is dominant and the *mfp* of Ar^* is comparable to ρ , therefore, Ar^* with large radial velocity are destroyed more more efficiently. Their *pdf* is no more a Gaussian (non equilibrium). The deduced T from a Gaussian profile is not the gas temperature.

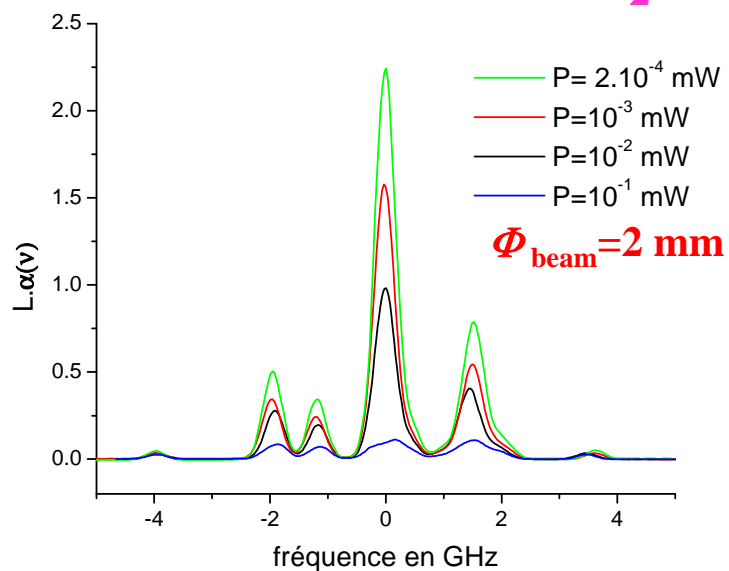
At $p=5 \mu\text{bar}$, Ar^* and Ar are in collisional equilibrium. T is gas temperature.

Optical Saturation

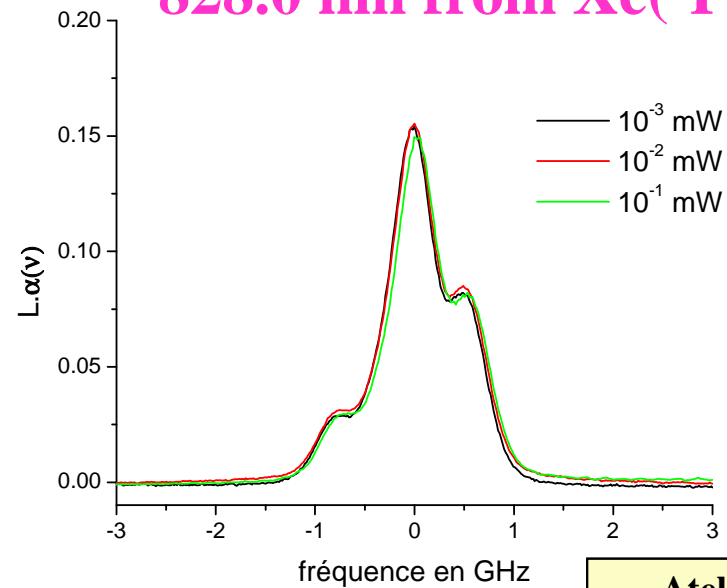
Influence of laser power on line profile and on measured absorption rate



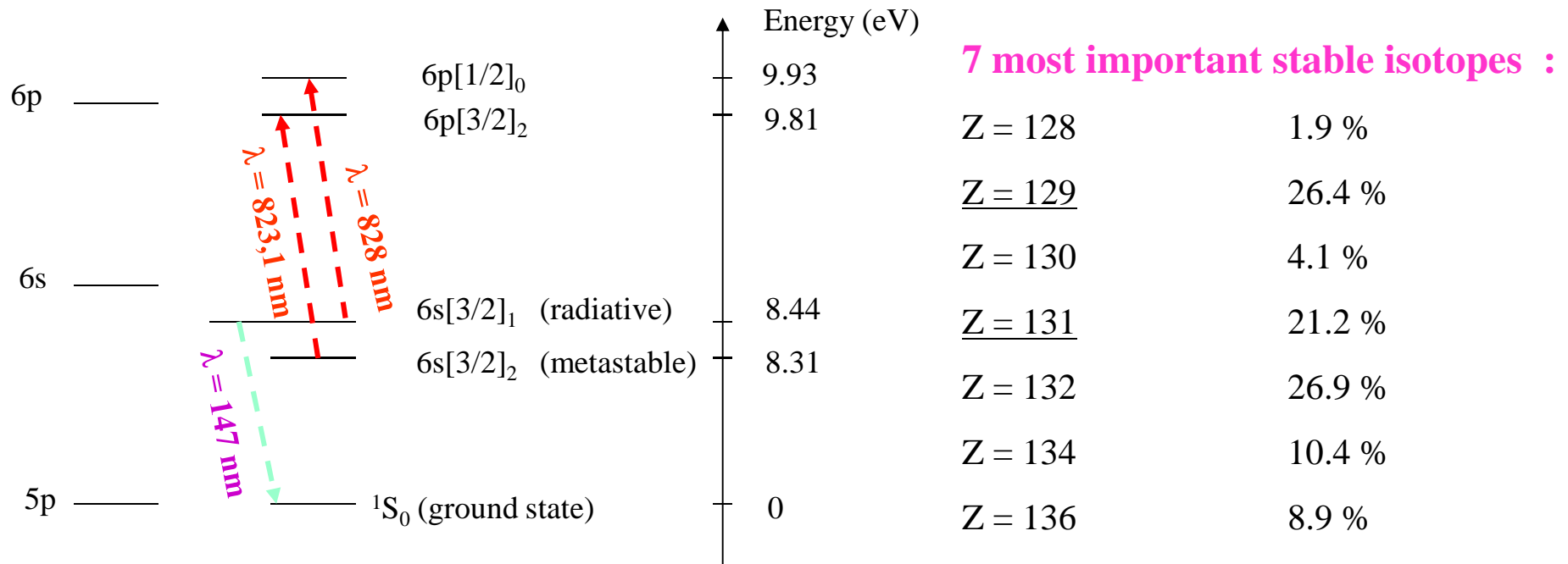
823.1 nm from Xe(3P_2)



828.0 nm from Xe(3P_1)



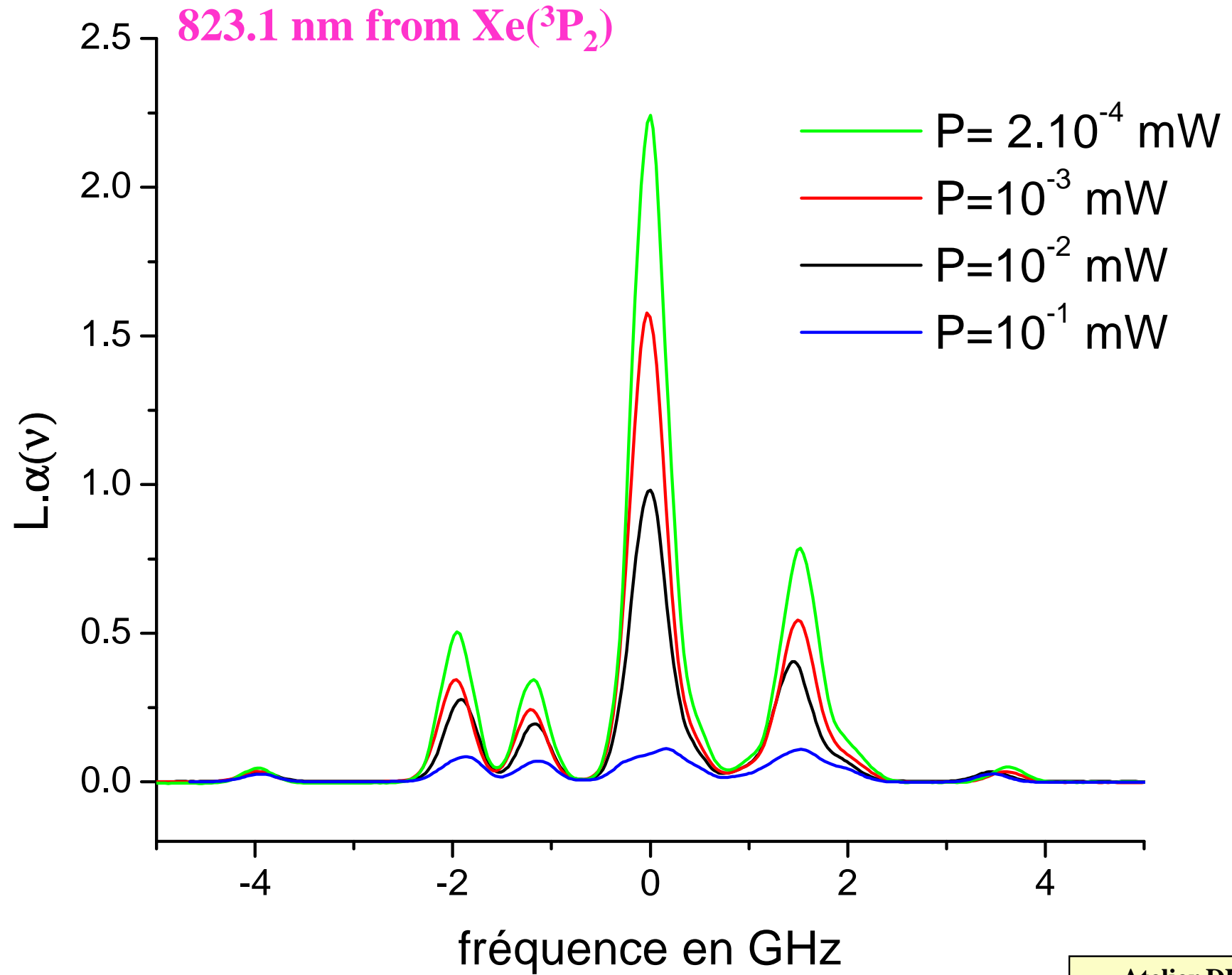
Xenon Excited states of interest



* **Complex line structures result from Isotope Shifts and Hyperfine Structure.**

* **Power saturation on 823.1 nm line because $\text{Xe}^*(^3\text{P}_2)$ depletion.**

* **No saturation on 828 nm line because $\text{Xe}^*(^3\text{P}_1)$ lifetime $\cong 10$ ns**



Origin of optical saturation

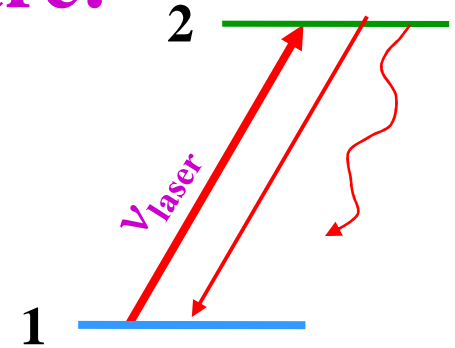
$$\alpha(\nu) = \frac{4hB_{12}}{\lambda\gamma} \left(n_1(\nu) - \frac{g_1}{g_2} n_2(\nu) \right) \quad \alpha \text{ becomes no more proportional to } n_1$$

- **1- Laser beam transfers a significant number of atoms from the lower to the upper state and n_2 becomes no more negligible compared to n_1 . (short pulse lasers)**
- **2- Atoms in the upper state are lost by radiation, or collisional transfers, to a 3rd state and atoms in the lower state are not renewed fast enough: the lower state becomes depleted. (cw lasers)**

Rate equations governing the population densities N_1 and N_2 of states $|1\rangle$ and $|2\rangle$ are:

$$dN_1/dt = (B_{21}\rho + A_{21})N_2 - (B_{12}\rho + 1/\tau_1 + \sum_q k_{1,q}M_q)N_1 + C_1$$

$$dN_2/dt = B_{12}\rho N_1 - \left(B_{21}\rho + A_{21} + A_{23} + \sum_q k_{2,q}M_q \right) N_2 + C_2$$



$$B_{21} = \frac{g_1}{g_2} B_{12} = \frac{\lambda_0^3}{8h\pi} A_{21}$$

is the Einstein coefficient for stimulated emission

we assume $g_1 = g_2$, ρ is the energy density of the beam,

C_i accounts for the repopulation of state $|i\rangle$ from different paths, including diffusion transport into the laser volume and radiative cascades

$$\mathfrak{R}_1 = 1/\tau_1 + \sum_q k_{1,q}N_q \quad \text{and} \quad \mathfrak{R}_2 = \sum_{i=\text{lower}} A_{2i} + \sum_q k_{2,q}N_q$$

are the total relaxation rates of the states

in steady state, ($dN_i/dt=0$) the density difference of states $|1\rangle$ and $|2\rangle$ is:

$$\Delta N = N_1 - gN_2 = \Delta N^0 / \left(1 + S \frac{\mathcal{R}_2 - A_{21} + g\mathcal{R}_1}{\mathcal{R}_1 + \mathcal{R}_2}\right)$$

Where $\Delta N^0 = N_1^0 - gN_2^0 = \frac{C_1}{\mathcal{R}_1} - \frac{C_2}{\mathcal{R}_2} (g - A_{21}/\mathcal{R}_1)$ is in the absence of laser beam ($\rho=0$),

and

$$S = B_{12} \rho / \mathcal{R}^* \quad \text{is } \mathbf{\text{The saturation parameter}}$$

related to the **mean relaxation rate**

$$\mathcal{R}^* = \mathcal{R}_1 \mathcal{R}_2 / (\mathcal{R}_1 + \mathcal{R}_2)$$

The resulting population density in the lower state is:

$$N_1 = \frac{C_1(gS + R_2/\mathcal{R}^*) + C_2(gS + A_{21}/\mathcal{R}^*)}{S[R_2 - A_{21} + gR_1] + (R_1 + R_2)}$$

When
 $C_2 \rightarrow 0$

$$N_1 = \frac{C_1(gS + R_2/\mathcal{R}^*)}{S[R_2 - A_{21} + gR_1] + (R_1 + R_2)}$$

Larger S is, lower the measured population will be

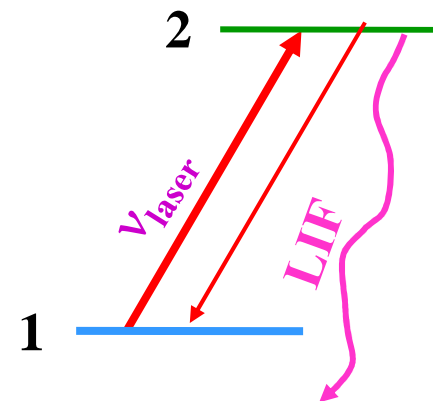
When $\rho \rightarrow 0$, $N_1 = \frac{C_1}{\mathcal{R}_1}$

For $\rho \rightarrow \infty$ $N_1 = \frac{g(C_1 + C_2)}{\mathcal{R}_2 - A_{21} + g\mathcal{R}_2}$

Intensity of Laser Induced Fluorescence signal

LIF signal is proportional to N_2 density given by:

$$I_{23} \propto N_2 A_{23} \propto N_1 (El, V, R) A_{23} \frac{B_{12} \rho}{B_{21} \rho + \mathfrak{R}_2}$$



When LIF is used to determine the relative population of two different species, m and n:

At **low laser power limit**, the LIF signal ratio is:

$$\frac{I_{23}(m \rightarrow 3)}{I_{23}(n \rightarrow 3)} = \frac{N_1(i)}{N_1(j)} \frac{B_{im}}{B_{jn}} \frac{A_{m3}}{A_{n3}} \frac{\tau_m}{\tau_n}$$

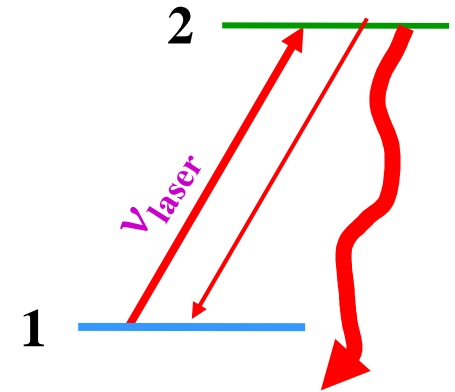
τ could be p and T dependent

At **high laser power limit**, the LIF signal ratio is:

$$\frac{I_{23}(m \rightarrow 3)}{I_{23}(n \rightarrow 3)} = \frac{N_1(i)}{N_1(j)} \left(\frac{g_i}{g_m} \right) \left(\frac{g_n}{g_j} \right) \frac{A_{m3}}{A_{n3}}$$

Estimation of saturation parameter S

For a cw laser:



$\lambda = 590 \text{ nm}$;

$\tau_2 = 16 \text{ ns}$; hence

$$R_2 = 1/\tau_2 = 6.25 \cdot 10^7 \text{ s}^{-1}$$

But $A_{21} = 6 \cdot 10^6 \text{ s}^{-1}$;

$R_1 = (1/\text{transit time inside a beam of } \phi = 2 \text{ mm}) = (0.5 \text{ km} \cdot \text{s}^{-1}) / (2 \text{ mm}) = 2.5 \cdot 10^5 \text{ s}^{-1}$

Laser power: $P = 1 \text{ mW}$; $\Delta\nu_L = 1 \text{ MHz} \ll 1/(2\pi\tau_2)$;

Laser beam diameter = 2 mm

We can calculate

$$S = \frac{B_{12} * \rho}{R_1} = 20$$

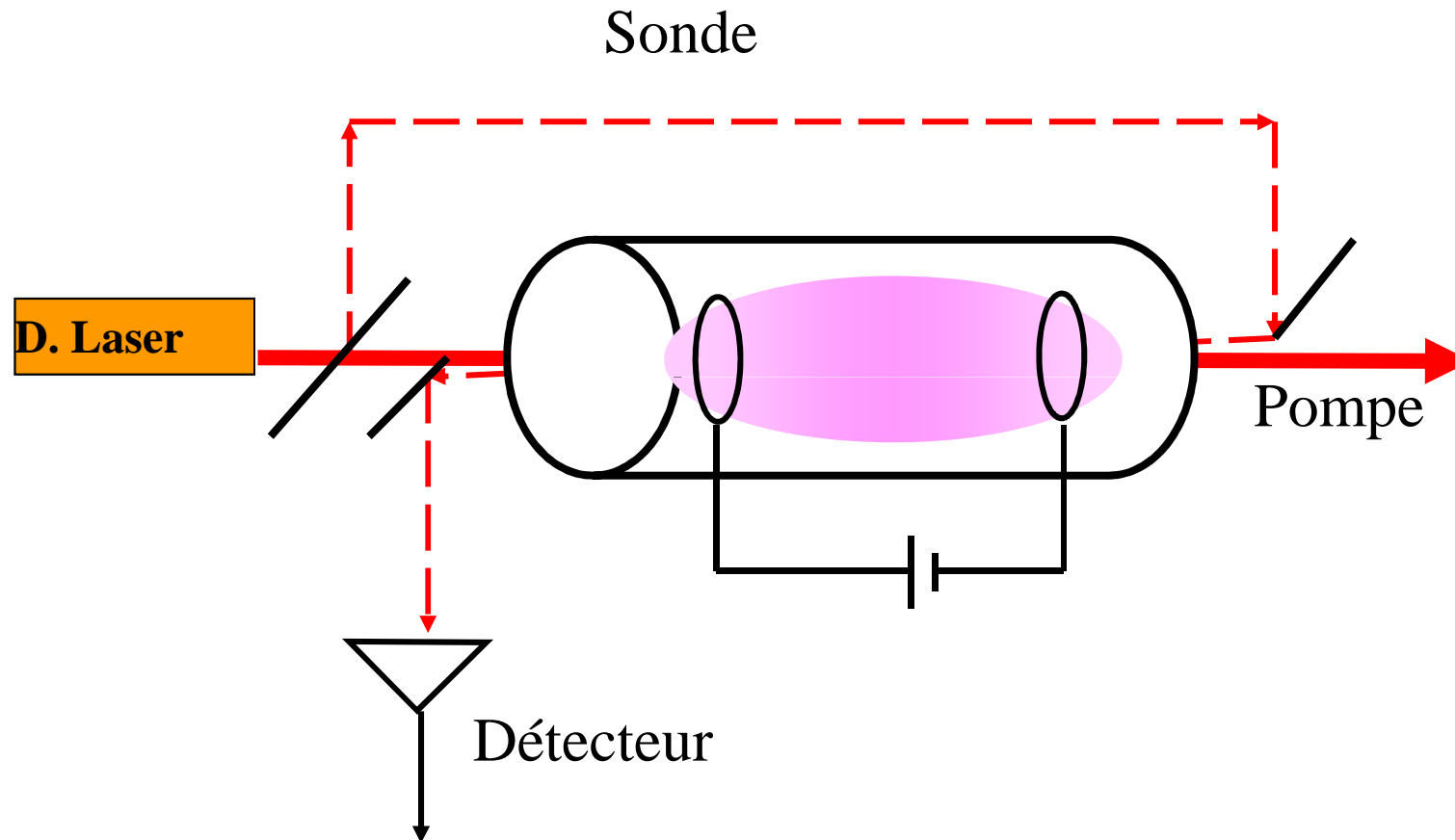
Hence the density measured by absorption will not be correct with so large S value

because $N_1 = N_1^0 / (1 + S)$ However,

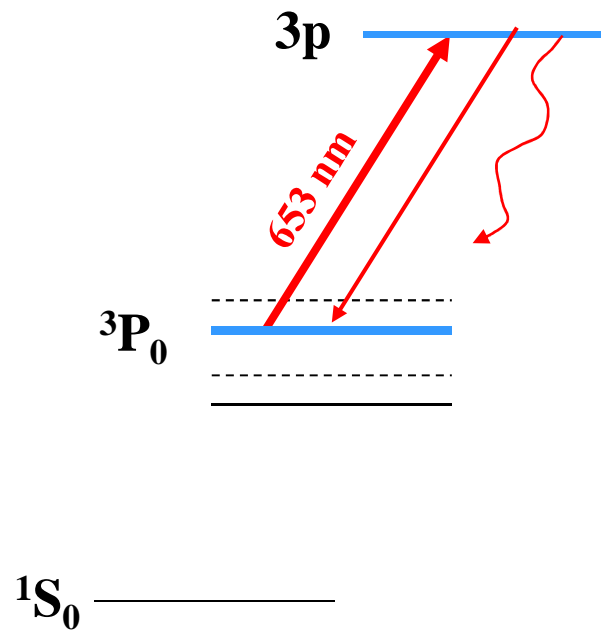
as $\delta\nu_s = \delta\nu * \sqrt{1 + S} = 4.5 * \delta\nu = 45 \text{ MHz}$ is much smaller than the Doppler

width (1.7 GHz), the line profile can still provide the gas temperature

Une expérience d'absorption saturée

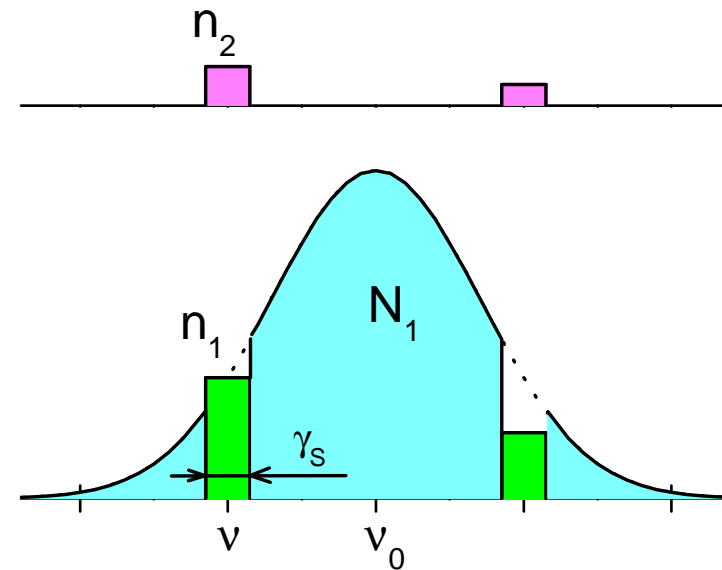


Comment agissent les deux faisceaux qui se propagent en sens opposés



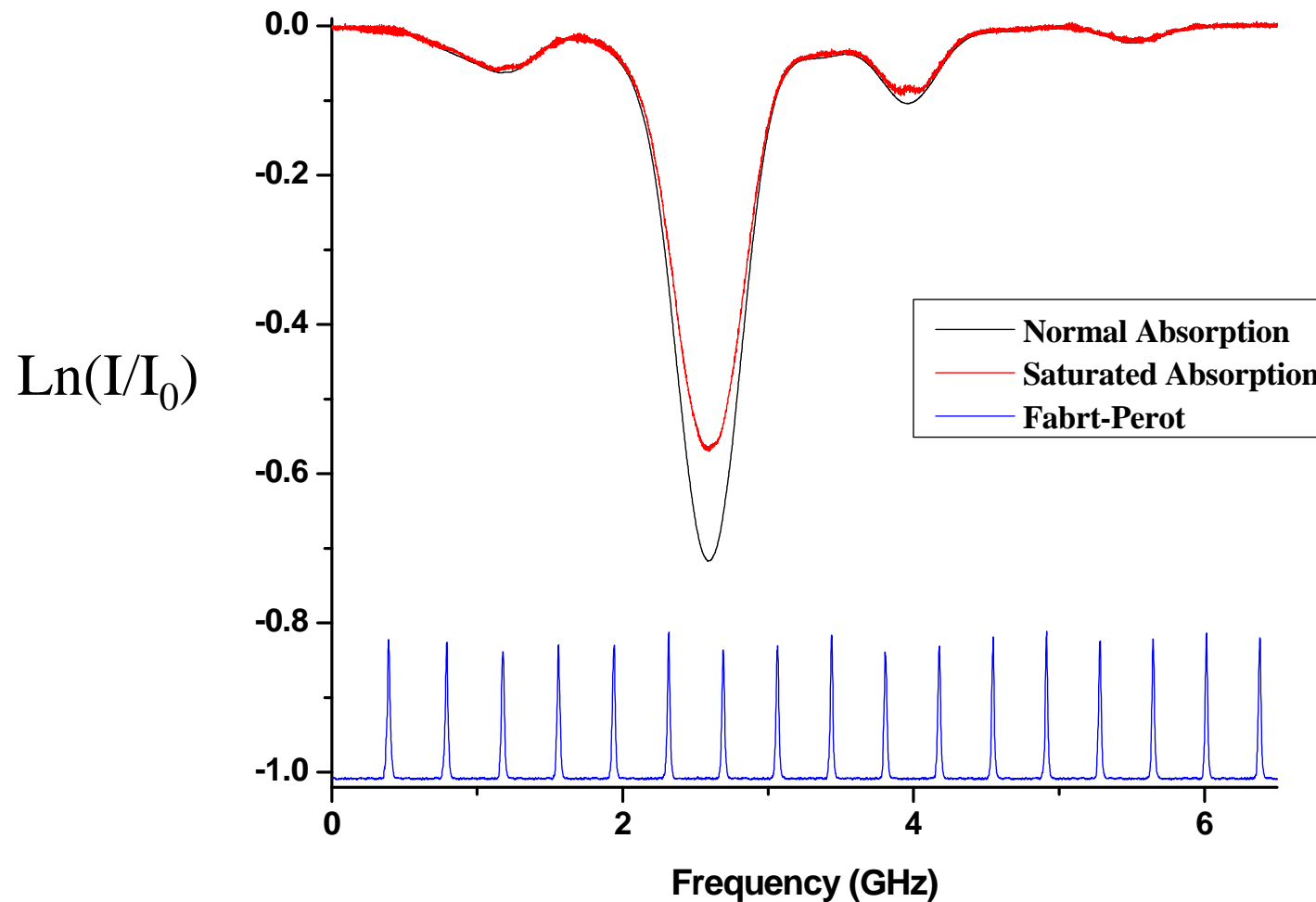
Neon energy levels

Laser frequency is $\nu = \nu_0 - \nu/c$

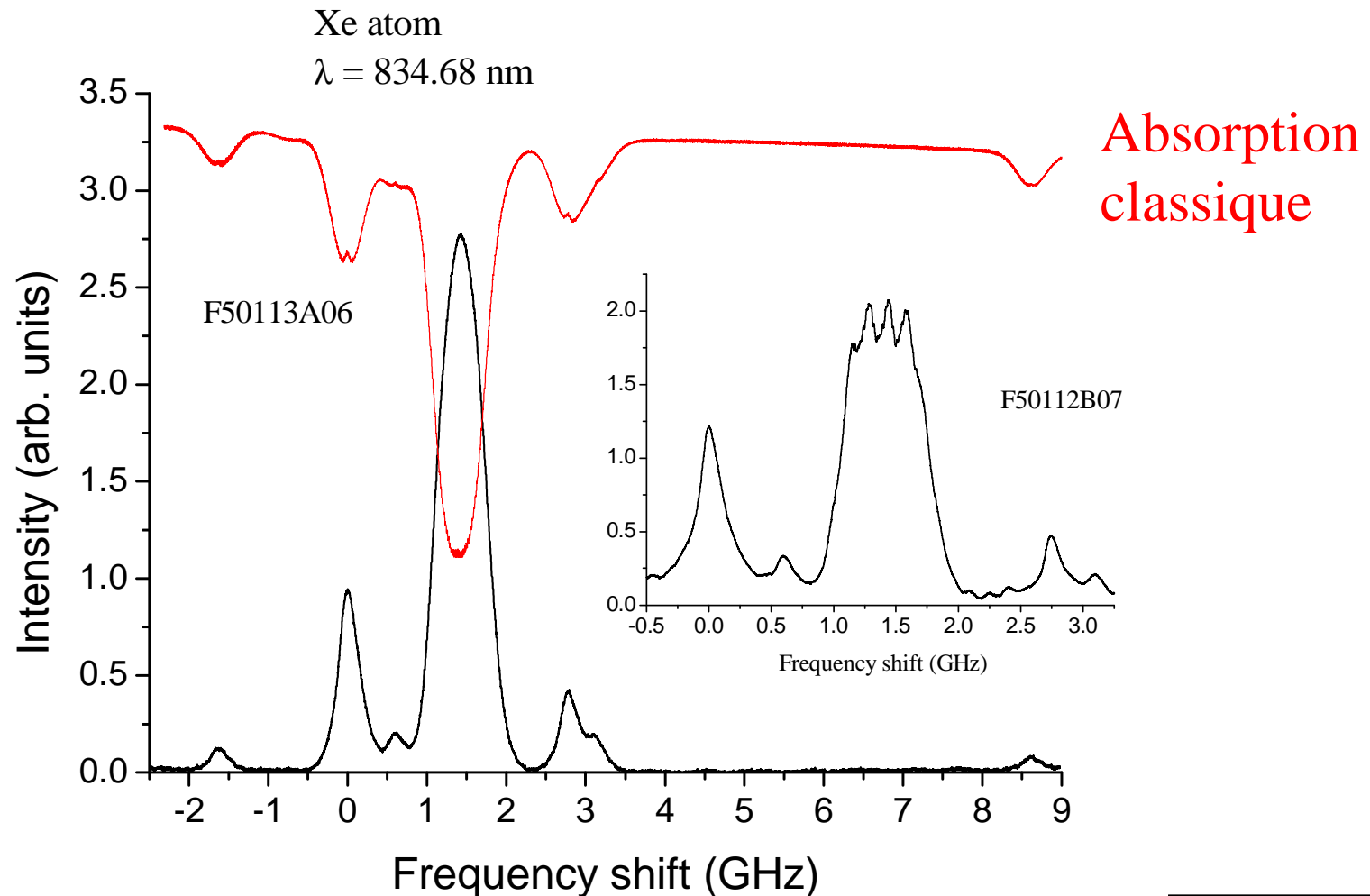


Groups of atoms in $3P_0$ and $3p$ states

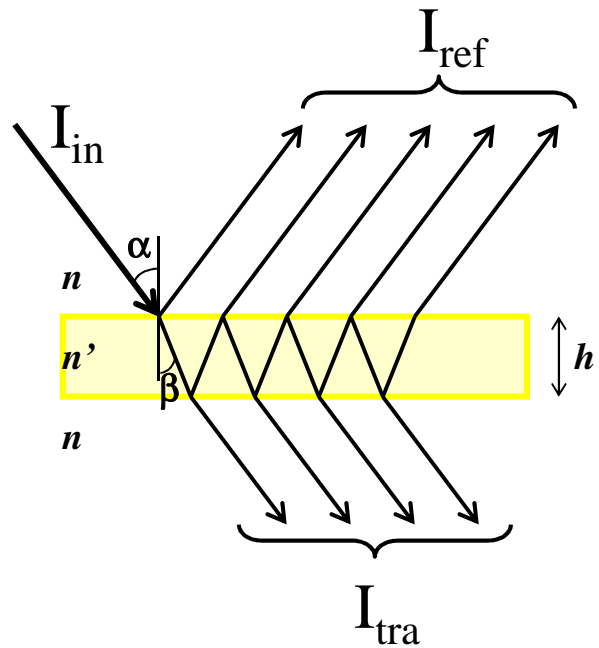
L'influence du faisceau pompe sur le profil d'absorption de la raie Xe (834.68 nm)



Signal d'absorption saturée avec une détection synchrone à la fréquence de modulation du faisceau pompe



L'effet d'interférence dans la traversée d'une lame



Différence de phase entre deux

faisceaux successifs est: $\delta = \frac{4\pi}{\lambda} n' h \cos \beta$

$$I_{ref} = \frac{4R \sin^2(\delta/2)}{(1-R)^2 + 4R \sin^2(\delta/2)} I_{in}$$

$$I_{tra} = \frac{(1-R)^2}{(1-R)^2 + 4R \sin^2(\delta/2)} I_{in}$$

Pour α et h fixes, à chaque fois que $\delta/2 = k \cdot \pi$, I_{ref} passera par zero et I_{tra} par un maximum = à I_{in}

Entre deux minima, λ change de

$\delta\lambda = \lambda_0^2 / (2n'h \cdot \cos(\beta))$ et ν de $\delta\nu = 1 / (2n'h \cdot \cos(\beta))$

